

DOI: https://doi.org/10.30898/1684-1719.2025.11.29

УДК: 537.9; 621.382; 539.23

# СПИНТРОННЫЕ ТГЦ ЭМИТТЕРЫ НА ОСНОВЕ ГРАФЕНА И АНТИФЕРРОМАГНЕТИКОВ

А.Л. Алферьев <sup>1</sup>, А.В. Горбатова <sup>1</sup>, Е.А. Булавинцева <sup>1</sup>, А.И. Карцев <sup>1</sup>, А.А. Климов <sup>1</sup>, А.М. Буряков <sup>1</sup>, Н.С. Гусев <sup>2</sup>, М.В. Сапожников <sup>1,2</sup>

<sup>1</sup> МИРЭА – Российский технологический университет, 119454, Россия, Москва, пр-т Вернадского, д. 78 <sup>2</sup> Институт физики микроструктур РАН, 603087, Россия, Нижегородская обл., Кстовский район, д. Афонино, ул. Академическая, д. 7

Статья поступила в редакцию 3 октября 2025 г.

Аннотация. Исследованы механизмы терагерцовой эмиссии в спинтронных ТГц-эмиттерах Со (3 нм), графен(Gr)/Со (3 нм) и Со (3 нм)/FeMn (5 нм), выращенных на кварцевых подложках. Магнитные свойства охарактеризованы в продольной геометрии магнитооптического эффекта Керра (МОЭК), динамика излучения – методом терагерцовой спектроскопии во временной области (THz-TDS). В Gr/Co интерфейс с графеном индуцирует перпендикулярную магнитную анизотропию; фаза ТГц-сигналов инвариантна к стороне накачки при фиксированной полярности магнитного поля, что указывает на доминирование сверхбыстрого лазерно-индуцированного размагничивания. При накачке со стороны подложки амплитуда возрастает приблизительно в 1.5 раза, тогда как при фронтальном облучении уменьшается примерно вдвое, что согласуется с различиями в оптическом/ТГц-поглощении. В Со/FeMn антиферромагнитный слой формирует выраженную одноосную анизотропию в плоскости и повышает коэрцитивность; инверсия фазы при смене стороны накачки свидетельствует о преобладании обратного спинового эффекта Холла. Обменное смещение при выбранных толщинах и без термообработки не обнаружено. Дополнительно

выявлена асимметрия петель ТГц-гистерезиса в Co/FeMn, указывающая на присутствие четных по намагниченности вкладов в эмиссию. Результаты подчеркивают ключевую роль интерфейсной инженерии в структурах Co/антиферромагнетик и Gr/Co для управления спин-зарядовой конверсией и параметрами ТГц-эмиттеров.

**Ключевые слова:** спинтронный ТГц-эмиттер, сверхбыстрое размагничивание, обратный спиновый эффект Холла, графен, FeMn, перпендикулярная магнитная анизотропия, МОЭК, ТГц-спектроскопия.

Финансирование: Исследование параметров ТГц-спинтронных генераторов было выполнено при поддержке Российского научного фонда (проект № 24-79-10302). Разработка спинтронных И изготовление структур магнетронного напыления – при поддержке Министерства науки и высшего образования Российской Федерации (проект № FSFZ-2025-0002). Создание и первичная характеризация образцов проводилась c использованием оборудования ЦКП "Физика и технология микро- и наноструктур" (ИФМ РАН).

Автор для переписки: Алферьев Артем Леонидович, alferev@mirea.ru

### Введение

В области спинтронных ТГц генераторов существенный прогресс начался с публикации Каmpfrath Т. et al., в которой была показана возможность ТГц генерации через спин-зарядовую конверсию в магнитных гетероструктурах [1-2]. С тех пор было разработано значительное количество многослойных структур типа ферромагнетик(FM)/немагнитный металл (NM), методов управления фазой и амплитудой ТГц-импульсов и другими параметрами спинтронных ТГц источников [3-8]. При этом остаются существенные пробелы в понимании и оптимизации эффективности этих устройств, особенно при использовании двумерных и гибридных материалов. С момента открытия графена в 2004 г. [9] и последующего бума двумерных материалов наблюдается их активное изучение для применения в спинтронике [10]. Графен и дихалькогениды переходных металлов (ДПМ) со структурной формулой

 $(MX_2, M = W, Mo, V; X = S, Se, Te)$  сочетают 2D структуру с сильным спинорбитальным взаимодействием, что открывает возможность управления магнитной анизотропией и усиления эффектов (например, обратный эффект Рашба-Эдельштейна/обратный спиновый эффект Холла) возникающих на интерфейсе FM/NM. Нарушение инверсионной симметрии в таких двумерных системах приводит к образованию неэквивалентных К-долин и разделению спиновых состояний, что позволяет избирательно возбуждать носители заряда заданным псевдоспином циркулярно поляризованным светом [11-12]. Фотогальванический эффект в гетероструктурах FM/2D-MX<sub>2</sub> дополнительно обменным взаимодействием усиливается границе, обеспечивая на энергетическое расщепление зон [13].

Отдельного внимания заслуживают гетероструктуры на основе графена, демонстрирующие ключевую роль 2D-интерфейсов в сверхбыстром переносе спина. В гибридных гетероструктурах из графена(Gr)/CoFeB установлена обратная связь между временем сверхбыстрого размагничивания  $\tau_m$  и параметром демпфирования Гилберта  $\alpha$ , что указывает на накопление спинов на интерфейсе и эффективный перенос спинового тока через графен [14]. Дополняя эту картину, в структуре Pt(3 hm)/Gr/Py(2 hm) наблюдается практически полное подавление  $T\Gamma_{\text{Ц}}$ -излучения по сравнению с Pt/Py, что свидетельствует об эффективном блокировании спинового тока графеновым слоем и низкой межслоевой спиновой проводимости вдоль оси c; одновременно фиксируется уменьшение демпфирования [15].

Однако к настоящему времени лишь единичные работы посвящены гибридным ТГц-эмиттерам на основе материалов ферромагнетик/двумерный (FM/2D, где 2D — графен или дихалькогениды переходных металлов). В частности, в Co/MoS<sub>2</sub> и WSe<sub>2</sub> была продемонстрирована эффективная спиновая инжекция в монослой [16-17]. В гетероструктуре FeCo/WSe<sub>2</sub> показано усиление ТГц-сигнала за счет конструктивных интерференционных эффектов и обратного транспорта горячих носителей [18]. Таким образом, интеграция двумерных полупроводниковых материалов с ферромагнетиками и антиферромагнетиками

формирует новую платформу для создания спинтронных ТГц-эмиттеров нового поколения, где ключевыми задачами остаются оптимизация интерфейсов, понимание ультрабыстрых спин-зарядовых процессов и разработка безполевых режимов управления излучением.

### 1. Объекты и методика исследования

В настоящей работе представлены результаты исследования трех ТГц генераторов: Co(3 нм); графен(Gr)/Co(3 нм); Co(3 нм)/FeMn(5 нм), выращенных на подложке из кварца. Графен был выращен методом химического осаждения из газовой фазы (CVD-графен, монослой, РУСГРАФЕН). Металлические слоистые структуры Со и FeMn изготавливались методом магнетронного распыления в атмосфере аргона при комнатной температуре на вращающейся подложке. Скорость вращения подложкодержателя 50 об/мин. Предварительная откачка в камере осуществлялась до  $5 \times 10^{-6}$  Торр, при этом рабочее давление газа аргона составляло  $4\times10^{-3}$  Торр. Мишень FeMn представляет собой сплав железа и марганца в соотношении 50 % на 50 %. Толщина слоев определялась по предварительной калибровке скоростей напыления при помощи рентгеновского дифрактометра. Для формирования заданного направления оси магнитной анизотропии в процессе роста магнитных пленок было приложено магнитное поле 1000 Гс, направленное в плоскости подложки. Перед напылением поверхность подложек была очищена в плазме низкоэнергетичных ионов аргона. Антиферромагнетик Fe<sub>50</sub>Mn<sub>50</sub> на слое кобальта выращивался с целью усиления одноосной магнитной анизотропии за счет обменного взаимодействия между FeMn и Co.

Перед нанесением пленки кобальта поверхностная структура графена была подробно проанализирована. АСМ-топография (рис. 1) демонстрирует однородное покрытие подложки более чем на 95 % при характерном размере зерен > 20 мкм и оптической прозрачности > 97 %. На карте высот отчетливо видны технологические морщины (wrinkles) высотой 1.5–5 нм, а также редкие

частицы до нескольких десятков нанометров, что типично для процесса переноса CVD-графена.

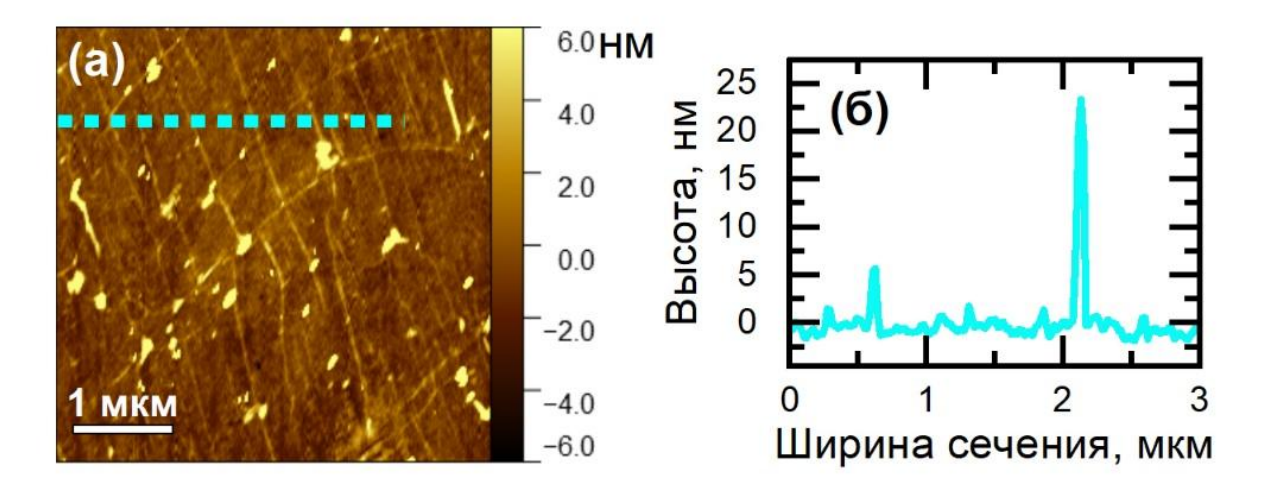


Рис. 1. АСМ топография CVD-графена, перенесенного на подложку SiO<sub>2</sub>: а) общий вид покрытия (однородность пленки, технологические морщины и частицы); б) место сечения профиля высоты, определенное пунктирной «бирюзовой» линией на панели в области графена.

АСМ-сканирование, проведенное на границе монослоя и подложки (зеленая линия на рис. 2(а)), показало наличие «ступеньки» порядка 0.8 нм (рис. 2(б)). Полученное значение превышает номинальную толщину атомарного слоя (~0.35 нм), однако согласуется с известными особенностями АСМ-метрологии графена на SiO<sub>2</sub>: вклад адсорбированных молекул и взаимодействие зонда с подложкой приводят к незначительному завышению результата оценки высоты [19-20].

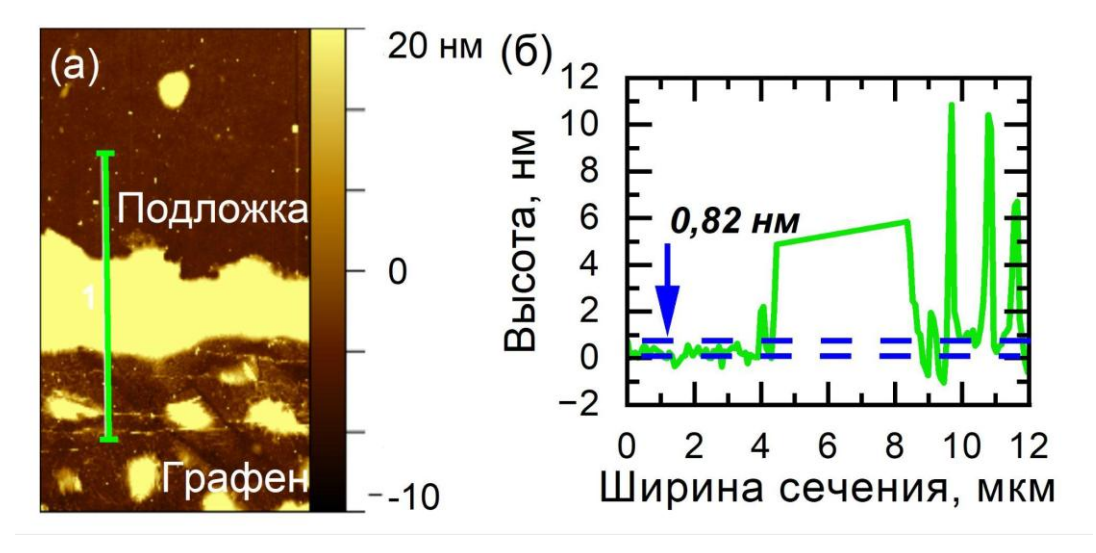


Рис. 2. Область на краю пленки графена: а) АСМ топография поверхности; б) профиль поверхности, взятый из сечения (а).

# 2. Магнитные свойства структур

Анализ магнитных свойств изготовленных структур проведен методом продольного магнитооптического эффекта Керра (МОЭК). Петли МОЭК регистрировались при приложении внешнего магнитного поля ( $H_{ext}$ ) вдоль оси легкого намагничивания (ОЛН) и оси трудного намагничивания (ОТН). Для ТГц-генератора Со(3) (рис. 3а) черная (ОЛН, легкая ось) и зеленая (ОТН, трудная ось) кривые практически совпадают, что указывает на отсутствие выраженной одноосной анизотропии в плоскости. Это свидетельствует о том, приложенное росте пленки что при магнитное поле не создало предпочтительного направления намагниченности в плоскости образца. Для  $T\Gamma$ ц-генератора Gr/Co(3 нм) (рис. 3(6)) картина принципиально отличается: наблюдается остаточная намагниченность  $H_{ext}=0.$ пониженная при При измерении вдоль направления ОЛН в плоскости пленки остаточная намагниченность составляет не более 38 % при перемагничивании из области положительного поля насыщения до  $H_{ext} = 0$ . Аналогично, при обратном намагничивании из области отрицательного поля насыщения остаточная плоскостная компонента намагниченности не превышает 14 %. Достижение полного магнитного насыщения требует приложения магнитного поля  $H_{ext}$ порядка 0.4 кЭ в плоскости пленки, что подтверждает полную ориентацию намагниченности в плоскости лишь при значительных полях.

Наблюдаемый эффект мы связываем с кластерным характером роста пленки кобальта на графене. Поскольку каждый кристаллит обладает собственной осью анизотропии, и направления этих осей различаются между собой, при отсутствии внешнего магнитного поля наблюдается околонулевая результирующая намагниченность. Согласно данным литературы, низкая энергия связи между металлом и углеродом способствует росту Со с образованием кластеров (или зерен) большого размера и низкой плотности [21]. Это, в свою очередь, приводит к повышению магнитной коэрцитивной силы за счет увеличения числа центров закрепления доменных стенок. Также следует отметить, что интерфейс «графен/Со» может индуцировать перпендикулярную

магнитную анизотропию (ПМА), смещая легкую ось вдоль нормали к пленке. Такой эффект согласуется с литературными данными: присутствие однослойного графена на поверхности кобальта существенно увеличивает поверхностную магнитокристаллическую анизотропию Со и переориентирует эффективную легкую ось в перпендикулярном направлении вплоть до толщин около 25Å [22].

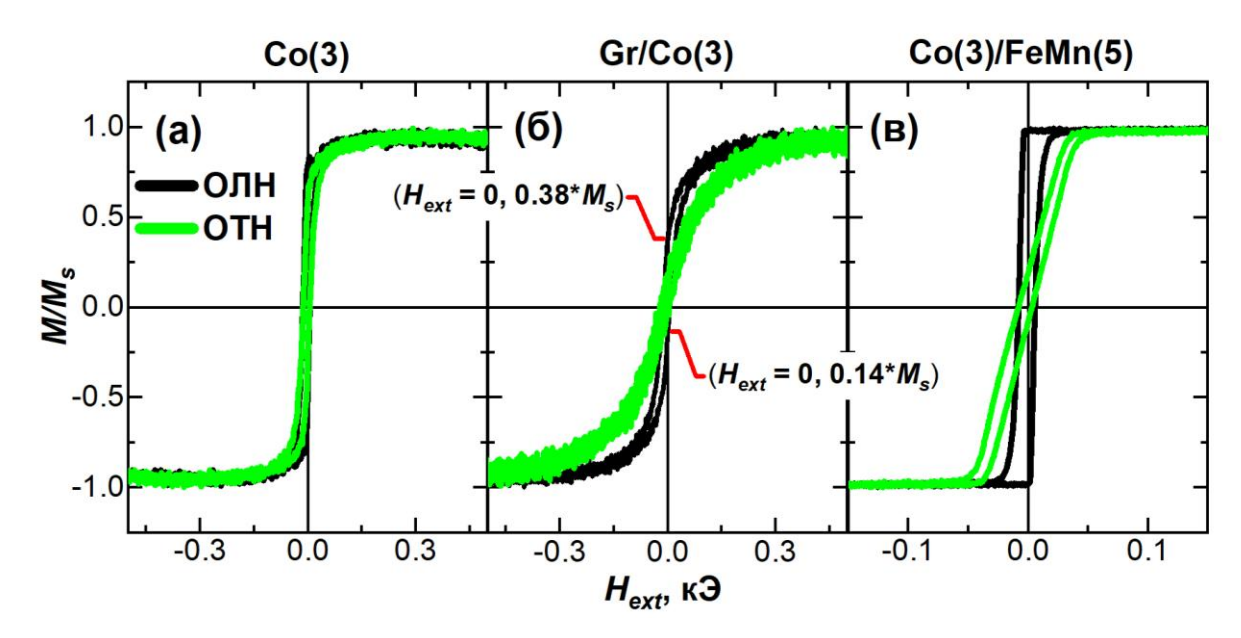


Рис. 3. Петли магнитооптического гистерезиса для образцов (а) Co(3 hm); (б) Gr/Co(3 hm); (в) Co(3 hm)/FeMn(5 hm).

Чтобы целенаправленно сформировать одноосную анизотропию добавили антиферромагнитный (АҒМ) слой в образце плоскости, МЫ МОЭК Co(3 HM)/FeMn(5 HM).Как видно форм петель (рис. 3(в)),ИЗ при намагничивании вдоль ОЛН наблюдается резкое переключение с высокой остаточной намагниченностью, тогда как вдоль ОТН кривая плавная и растянутая. Это указывает на успешно заданное предпочтительное направление намагниченности в плоскости. В то же время признаков обменного смещения (сдвига петли по оси поля) не обнаружено. Наиболее вероятные причины – слабая обменная связь на интерфейсе AFM/FM из-за малой толщины AFM-слоя и недостаточная энергия его анизотропии, из-за чего при перемагничивании FM-пленки подрешетки AFM также перемагничиваются [23]. Таким образом, слой FeMn при выбранных условиях формирует выраженную одноосную

магнитную анизотропию, но для реализации обменного смещения требуется дополнительная оптимизация технологического цикла.

# 3. ТГц-эмиссия: результаты и обсуждение

Методом ТГц-спектроскопии с временным разрешением (THz-TDS) были исследованы параметры ТГц-излучения, генерируемого созданной серией структур при облучении фемтосекундными лазерными импульсами. На рисунке 4 представлено сравнение временных форм ТГц-сигналов, генерируемых ТГц-эмиттерами Со(3 нм) и Gr/Co(3 нм) в зависимости от полярности прикладываемого внешнего магнитного поля  $H_{ext} = \pm 2$  кЭ и направления облучения структуры: со стороны подложки (a, б) и со стороны пленки (в, г).

Как видно из результатов, независимо от направления облучения смена полярности магнитного поля приводит к изменению фазы ТГц-сигнала в обеих структурах, что указывает на спиновую природу генерируемого излучения. С другой стороны, при одинаковой полярности внешнего поля, например +2 кЭ (черная кривая), фаза генерируемого ТГц-сигнала не зависит от смены ориентации образца относительно падающего луча как для однослойной структуры (рис. 4 (а, в)), так и для гетероструктуры на основе графена (рис. 4 (б, г)). Это означает, что изменение направления возбуждения спинового тока в ферромагнитном слое не влияет на формирование ТГц-сигнала.

Наблюдаемое свидетельствует поведение 0 TOM, что основным механизмом генерации ТГц-излучения В таких структурах является сверхбыстрое лазерно-индуцированное размагничивание ферромагнитной пленки, которое создает возмущение магнитного диполя, протекающее без образования зарядовых токов [24-25]. Таким образом, именно этот механизм дает преимущественный вклад в ТГц-генерацию в гетероструктуре графен/Со.

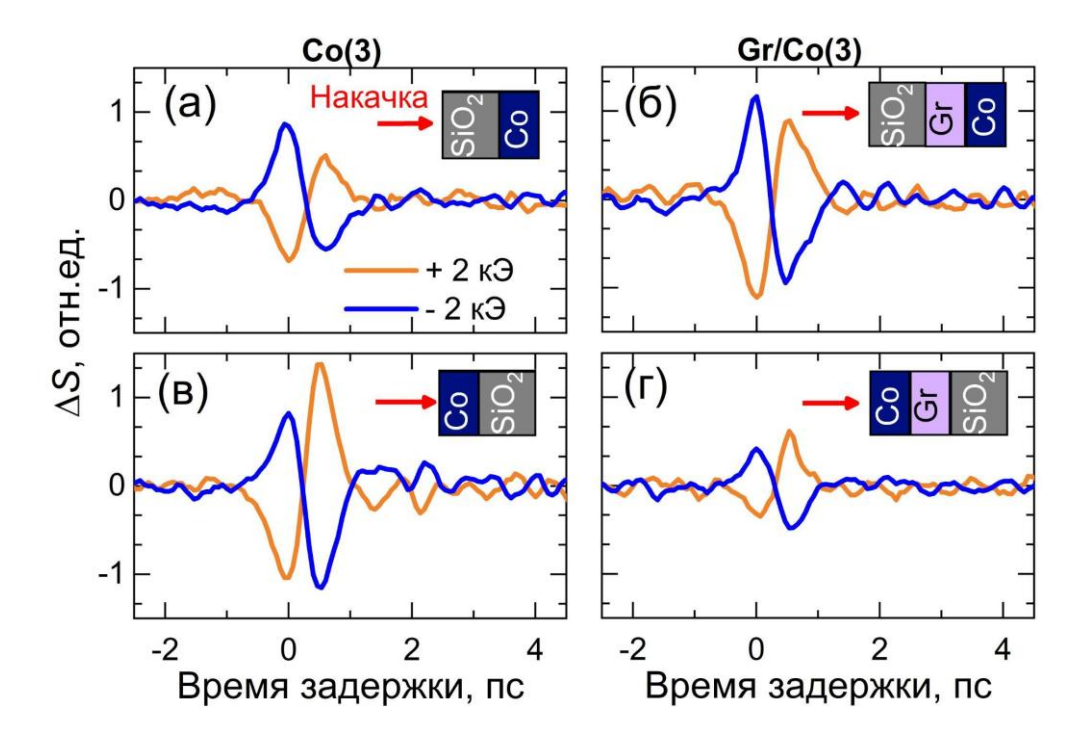


Рис. 4. Временные формы ТГц сигнала, генерируемого однослойной пленкой Со (3 нм) и гетероструктурой графен/Со(3 нм), при намагничивании вдоль легкой оси (ОЛН) и облучении лазерной накачкой со стороны подложки (а,б) и со стороны функциональных пленок (в,г), соответственно. Плотность энергии накачки в эксперименте составляла 1 мДж/см<sup>2</sup>.

Сравнение амплитуд ТГц сигналов, генерируемых двумя структурами, показывает, что напыление кобальта на графене приводит к увеличению ТГц сигнала ~ в 1.5 раза при облучении структуры со стороны подложки (рис. 4 (а,б)). При облучении со стороны пленки сигнал уменьшается ~ в 2 раза (рис. 4 (в,г)). Разница в наблюдаемых сигналах, обусловлена различным поглощением оптических и ТГц волн в структуре с графеном, а также возможным вкладом интерференционных эффектов. Кроме того, графен обладает высоким удельным сопротивлением в направлении, перпендикулярном его плоскости [15]. Это приводит к существенному снижению эффективности ТГц эмиссии в структурах FM/графен/NM по сравнению с FM/NM из-за подавления спиновой инжекции в NM слой [15]. С другой стороны, чистый графен отличается слабым спин-орбитальным взаимодействием [26] (приблизительно на 4 порядка меньше, чем для Pt [27]), что делает его неэффективным преобразователем спинового тока в ток заряда при использовании в качестве NM слоя в спинтронном ТГц эмиттере. Однако, как показывают другие исследования, проектирование

интерфейсов на основе графена, например, путем внедрения материалов с сильной спин-орбитальной связью, таких как Pt или дихалькогениды переходных металлов, может повысить эффективность инжекции спинового тока и ТГц генерации, что было показано на примере таких структур, как графен/Pt/NiFe [28], графен/WS<sub>2</sub>/NiFe [29] и графен/PtSe<sub>2</sub>/CoFeB [30]. В гибридных системах перенос заряда на интерфейсе графен/полупроводник создает интерфейсное электрическое поле и индуцирует обратный эффект Рашба-Эдельштейна, обеспечивающий спин-зарядовое преобразование в полупроводниковом слое и генерацию ТГц излучения.

На рисунке 5 представлены петли магнитного гистерезиса ТГц-сигнала для Со(3 нм) и графен(Gr)/Со(3 нм), полученные при намагничивании вдоль ОЛН и ОТН. Интересным результатом оказалось то, что для Со(3 нм) проявилось хоть и небольшое, но выраженное различие между направлениями ОЛН и ОТН (черная и зеленая линии на рис. 5, соответственно), чего не наблюдалось в результатах магнитооптических измерений (рис. 3(а)). Мы связываем это с тепловыми эффектами, возникающими под воздействием мощного лазерного излучения, а также с большой площадью возбуждения порядка 7 мм² (диаметр пятна ~ 3 мм) по сравнению с МОЭК (менее 0.8 мм²). Для структуры Gr/Со результаты ТГц-измерений согласуются с данными МОЭК, подтверждая отсутствие плоскостной магнитной анизотропии в ферромагнитной пленке кобальта и доминирование ПМА.

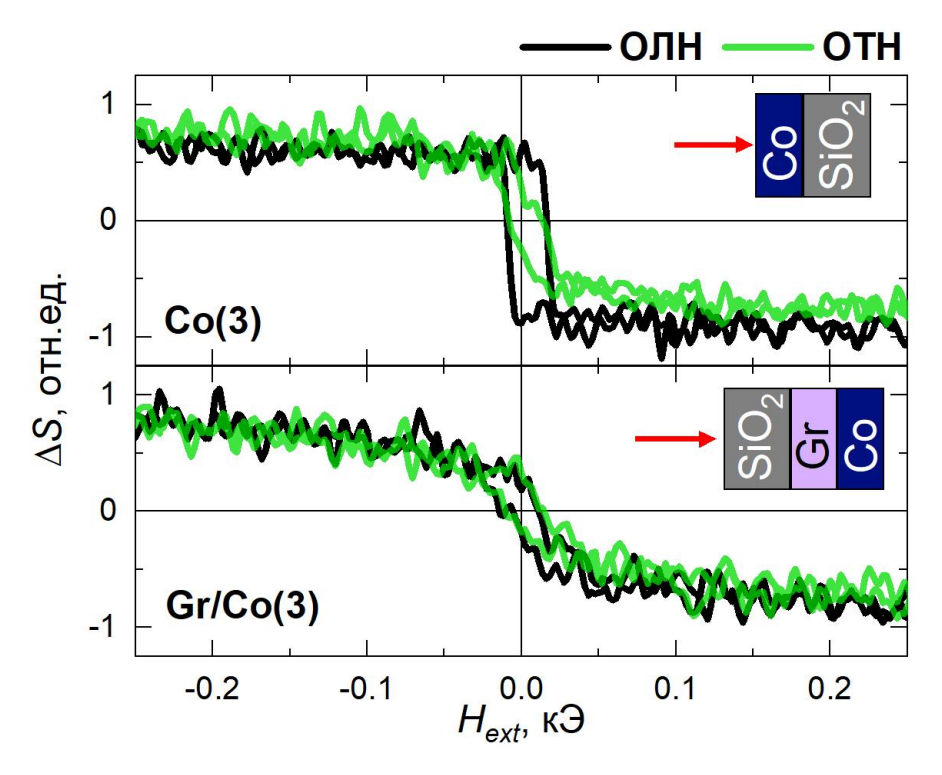


Рис. 5. Петли магнитного гистерезиса ТГц сигнала в спинтронных эмиттерах на основе однослойной пленки кобальта и гетероструктуры графен(Gr)/Со (3 нм), полученные при намагничивании вдоль легкой (ОЛН) и трудной (ОТН) осей магнитокристаллической анизотропии.

На рисунке 6(а) представлены временные формы ТГц импульсов, генерируемых структурой Co(3 нм)/FeMn(5 нм) при изменении полярности внешнего магнитного поля ( $H_{ext} = \pm 2 \text{ к}$ Э). На рисунке 6(б) представлены временные формы ТГц сигналов, полученные при лазерном облучении со стороны подложки (BS) и со стороны пленки (FS). Наблюдаемая инверсия фазы ТГц сигнала при изменении полярности внешнего магнитного поля и направления инжекции спинового тока из ферромагнитного слоя в антиферромагнетик указывает на доминантную роль обратного спинового эффекта Холла в генерации ТГц излучения.

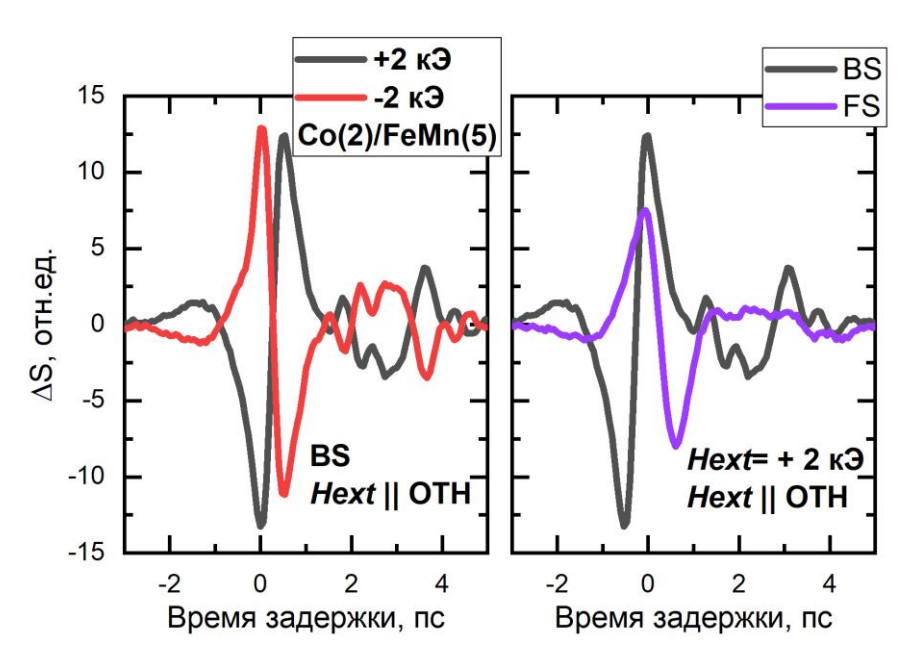


Рис. б. Временные формы ТГц сигнала, генерируемого структурой Co/FeMn при намагничивании вдоль ОТН для разных полярностей магнитного поля (а) и для разных сторон структуры: задней стороны (BS) и лицевой стороны (FS) (б).

На рисунке 7 представлены петли ТГц гистерезиса при намагничивании вдоль ОЛН (черная кривая) и ОТН (зеленая кривая) осей образца Со(3 нм)/FeMn(5 нм). Вдоль ОЛН амплитуда сигнала резко переключается при смене полярности поля, формируя узкую прямоугольную петлю. Вдоль ОТН изменение амплитуды протекает более плавно: при увеличении поля от отрицательных к положительным значениям амплитуда сначала постепенно уменьшается, затем меняет знак и выходит на насыщение по мере преодоления магнитной анизотропии. Максимальная амплитуда ТГц-сигнала в состоянии насыщения вдоль ОТН демонстрирует вертикальную асимметрию для противоположных направлений поля (черная кривая, рис. 7).

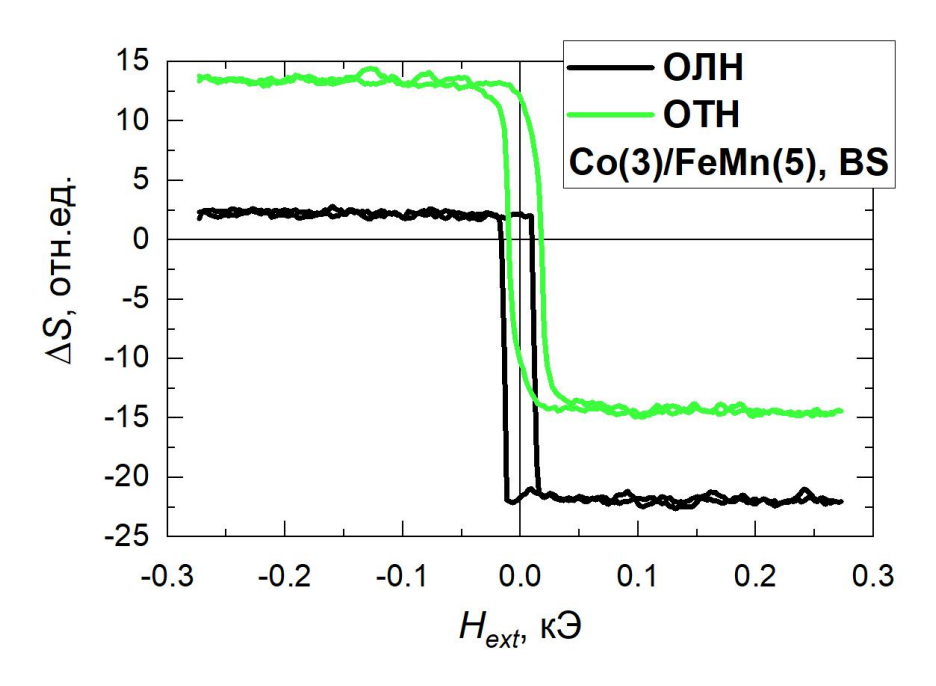


Рис. 7. Петли магнитного гистерезиса ТГц сигнала, генерируемого структурой Co/FeMn при намагничивании вдоль легкой и трудной оси.

Подобная асимметрия может быть следствием влияния антиферромагнитного упорядочения FeMn: при разных направлениях намагниченности Со относительно спинов в FeMn эффективность генерации ТГц сигнала может различаться. Например, при намагничивании Со в одном направлении его обменное взаимодействие с FeMn приводит к большему наклону или движению доменов и усилению динамического отклика (а значит и ТГц-импульса). При намагничивании в излучаемого противоположном наоборот, будет наблюдаться ослабление ТΓц направлении, Наблюдаемая асимметрия переключения абсолютного значения амплитуды ТГцсигнала, выражающаяся как  $S(-H_{ext}) \neq S(+H_{ext})$  при перемагничивании вдоль ОЛН, указывает на присутствие дополнительных вкладов в ТГц-генерацию, не связанных с обратным спиновым эффектом Холла, который демонстрирует четную зависимость амплитуды ТГц-сигнала от магнитного поля [31]. Подобное поведение типично для систем с нарушенной инверсионной симметрией на интерфейсе ферромагнетик/немагнитный металл, где возникают четные по намагниченности В ТГц-эмиссию, обусловленные вклады магнитоиндуцированной оптической выпрямляющей нелинейностью второго порядка [32-33].

### Заключение

В работе экспериментально показано, что интерфейсная инженерия в структурах на основе графена и антиферромагнетиков определяет как магнитные параметры, так и доминирующие механизмы ТГц-генерации. Для Gr/Co выраженная обнаружена перпендикулярная магнитная анизотропия; неизменность фазы ТГц-сигнала при смене стороны накачки при фиксированном преобладание механизма сверхбыстрого указывает на индуцированного размагничивания. Амплитуда при облучении со стороны подложки возрастает ≈ в 1.5 раза, а при фронтальном облучении снижается ≈ в 2 раза, что согласуется с различиями в оптическом и ТГц-поглощении. В Со/FeMn антиферромагнитный слой задает одноосную анизотропию в плоскости и увеличивает коэрцитивность; инверсия фазы при смене стороны накачки подтверждает доминирование обратного спинового эффекта Холла. Отсутствие обменного смещения при толщине FeMn 5 нм без отжига указывает на необходимость оптимизации толщины и термообработки. Вертикальная асимметрия магнитных петель ТГц-эмиссии свидетельствует о четных по намагниченности вкладах.

Финансирование: Исследование параметров ТГц-спинтронных генераторов было выполнено при поддержке Российского научного фонда (проект № 24-79-10302). Разработка И изготовление спинтронных структур методом магнетронного напыления при поддержке Министерства науки и высшего образования Российской Федерации (проект № FSFZ-2025-0002). Создание и характеризация образцов первичная проводилась c использованием оборудования ЦКП "Физика и технология микро- и наноструктур" (ИФМ РАН).

# Литература

- 1. Heimel G., Brédas J.-L. Reflections on charge transport // Nature Nanotechnology.

   2013. T. 8. № 4. C. 230–231. https://doi.org/10.1038/nnano.2013.42
- 2. Horiuchi N. On-chip dual-comb source // Nature Photonics. 2016. T. 10. № 6.
   C. 359. https://doi.org/10.1038/nphoton.2016.115
- 3. Papaioannou E.Th., Beigang R. THz spintronic emitters: a review on achievements and future challenges // Nanophotonics. 2021. T. 10. № 4. C. 1243–1257. https://doi.org/10.1515/nanoph-2020-0563
- 4. Khusyainov D., Ovcharenko S., Gaponov M. et al. Polarization control of THz emission using spin-reorientation transition in spintronic heterostructure // Scientific Reports. 2021. T. 11. № 1. C. 47 54. https://doi.org/10.1038/s41598-020-80781-5
- 5. Kampfrath T., Kirilyuk A., Mangin S. et al. Ultrafast and terahertz spintronics: Guest editorial // Applied Physics Letters. 2023. T. 123. № 5. C. 050001. https://doi.org/10.1063/5.0167151
- 6. Khusyainov D., Ovcharenko S., Buryakov A. et al. Composite Multiferroic Terahertz Emitter: Polarization Control via an Electric Field // Physical Review Applied. 2022. T. 17. № 4. C. 044025. https://doi.org/10.1103/PhysRevApplied.17.044025
- 7. Buryakov A.M., Mishina E.D., Lebedeva E.D. et al. Spin valve as THz emitter providing amplitude modulation // APL Materials. 2024. T. 12. № 10. C. 100–105. https://doi.org/10.1063/5.0221982
- 8. Bull C., Hewett S.M., Ji R. et al. Spintronic terahertz emitters: Status and prospects from a materials perspective // APL Materials.  $-2021.-T.9.-N_{\odot}9.$  -C.091114. https://doi.org/10.1063/5.0057511
- 9. Novoselov K.S., Geim A.K., Morozov S.V. et al. Electric Field Effect in Atomically Thin Carbon Films // Science. 2004. T. 306. № 5696. C. 666–669. https://doi.org/10.1126/science.1102896

- 10. Мирзоева Е.Т., Кудрявцев А.В. Первопринципный расчет электронной структуры монослоя CeI<sub>3</sub> // Russian Technological Journal. 2025. Т. 13. № 4. С. 47–54. https://doi.org/10.32362/2500-316X-2025-13-4-47-54
- 11. Eginligil M., Cao B., Wang Z. et al. Dichroic spin-valley photocurrent in monolayer molybdenum disulphide // Nature Communications. 2015. T. 6.
   № 1. C. 8642. https://doi.org/10.1038/ncomms8636
- 12. Mak K.F., He K., Shan J. et al. Control of valley polarization in monolayer MoS2 by optical helicity // Nature Nanotechnology. 2012. T. 7. № 8. C. 494–498. https://doi.org/10.1038/nnano.2012.96
- 13. Estevez-Torres A., Rondelez Y. Spatially localized DNA domino // Nature Nanotechnology. 2017. T. 12. № 9. C. 842–843. https://doi.org/10.1038/nnano.2017.157
- 14. Panda S.N., Majumder S., Choudhury S. et al. Femtosecond laser-induced spin dynamics in single-layer graphene/CoFeB thin films // Nanoscale. 2021. T. 13.
   № 32. C. 13709–13718. https://doi.org/10.1039/d1nr03397b
- 15. Idzuchi H., Iihama S., Shimura M. et al. Spin injection characteristics of Py/graphene/Pt by gigahertz and terahertz magnetization dynamics driven by femtosecond laser pulse // AIP Advances. − 2021. − T. 11. − № 1. − C. 015014. https://doi.org/10.1063/9.0000114
- 16. Cheng L. et al. Far out-of-equilibrium spin populations trigger giant spin injection into atomically thin MoS2 // Nature Physics. 2019. T. 15. № 4. C. 347–351. https://doi.org/10.1038/s41567-018-0406-3
- 17. Buryakov A.M., Gorbatova A.V., Avdeev P.Y. et al. Hybrid Co/2D-WSe2-based THz spintronic emitter with tunable polarization // Applied Physics Letters. 2025.
  T. 127. № 5. C. 052402. https://doi.org/10.1063/5.0274793
- 18. Khusyainov D., Guskov A., Ovcharenko S. et al. Increasing the Efficiency of a Spintronic THz Emitter Based on WSe2/FeCo // Materials. 2021. T. 14. № 21. C. 6479. https://doi.org/10.3390/ma14216479

- 19. Schmidt U., Dieing T., Ibach W. et al. A Confocal Raman-AFM Study of Graphene
  // Microscopy Today. 2011. T. 19. № 6. C. 30–33.
  https://doi.org/10.1017/S1551929511001192
- 20. Shi Y., Dong X., Chen P. et al. Effective doping of single-layer graphene from underlying SiO2 substrates // Physical Review B. − 2009. − T. 79. − № 11. − C. 115402. https://doi.org/10.1103/PhysRevB.79.115402
- 21. Berger A.J., Amamou W., White S.P. et al. Magnetization dynamics of cobalt grown on graphene // Journal of Applied Physics. 2014. T. 115. № 17. C. 17C511. https://doi.org/10.1063/1.4864742
- 22. Yang H., Vu A.D., Hallal A. et al. Anatomy and Giant Enhancement of the Perpendicular Magnetic Anisotropy of Cobalt–Graphene Heterostructures // Nano Letters. 2016. T. 16. № 1. C. 145–151. https://doi.org/10.1021/acs.nanolett.5b03392
- 23. Фещенко А.А. и др. Влияние толщины и легирования вольфрамом антиферромагнитных слоев Cr—Mn на микроструктуру и гистерезисные свойства пленок типа Cr—Mn/FM (FM = Fe, Fe<sub>20</sub>Ni<sub>80</sub>, Fe<sub>10</sub>Co<sub>90</sub>, Fe<sub>60</sub>Co<sub>20</sub>B<sub>20</sub>) // Физика твердого тела. 2025. Т. 67. № 6. С. 1101–1111. https://doi.org/10.61011/FTT.2025.06.60962.19HH-25
- 24. Beaurepaire E., Turner G.M., Harrel S.M. et al. Coherent terahertz emission from ferromagnetic films excited by femtosecond laser pulses // Applied Physics Letters. 2004. T. 84. № 18. C. 3465–3467. https://doi.org/10.1063/1.1737467
- 25. Буряков А.М., Горбатова А.В., Авдеев П.Ю. et al. Спинтронный терагерцевый эмиттер на основе двумерного полупроводникового диселенида вольфрама // Письма в журнал технической физики. 2022. Т. 48. № 18. С. 19. https://doi.org/10.21883/PJTF.2022.18.53393.19246
- 26. Konschuh S., Gmitra M., Fabian J. Tight-binding theory of the spin-orbit coupling in graphene // Physical Review B. 2010. T. 82. № 24. C. 245412. https://doi.org/10.1103/PhysRevB.82.245412

- 27. Šipr O., Minár J., Mankovsky S. et al. Influence of composition, many-body effects, spin-orbit coupling, and disorder on magnetism of Co-Pt solid-state systems // Physical Review B. − 2008. − T. 78. − № 14. − C. 144403. https://doi.org/10.1103/PhysRevB.78.144403
- 28. Tahir M. et al. Enhancement of spin current to charge current conversion in Ferromagnet/Graphene interface // arXiv preprint arXiv:2404.16595. 2024. https://doi.org/10.48550/arXiv.2404.16595
- 29. Cunha R.O., Garcia-Basabe Y., Larrude D.G. et al. Unraveling the Spin-to-Charge Current Conversion Mechanism and Charge Transfer Dynamics at the Interface of Graphene/WS2 Heterostructures at Room Temperature // ACS Applied Materials & Interfaces. − 2024. − T. 16. − № 2. − C. 2345–2354. https://doi.org/10.1021/acsami.4c08539
- 30. Abdukayumov K., Mičica M., Ibrahim F. et al. Atomic-Layer Controlled Transition from Inverse Rashba–Edelstein Effect to Inverse Spin Hall Effect in 2D PtSe2 Probed by THz Spintronic Emission // Advanced Materials. 2024. T. 36. № 14. C. 2401243. https://doi.org/10.1002/adma.202304243
- 31. Avdeev P.Y., Gorbatova A.V., Lebedeva E.D. et al. Competing mechanisms of polarization-controlled terahertz emission in Co/Mo spintronic bilayers // Journal of Physics D: Applied Physics. − 2025. − T. 58. − № 38. − C. 385003. https://doi.org/10.1088/1361-6463/ae0345
- 32. Yao Z., Fu H., Du W. et al. Magnetization-induced optical rectification and inverse spin Hall effect for interfacial terahertz generation in metallic heterostructures // Physical Review B. − 2021. − T. 103. − № 20. − C. L201404. https://doi.org/10.1103/PhysRevB.103.L201404
- 33. Jiang Y., Li Z., Li Z. et al. Ultrafast light-driven magneto-optical nonlinearity in ferromagnetic heterostructures // Optics Letters. − 2023. − T. 48. − № 8. − C. 2054–2057. https://doi.org/10.1364/OL.485966

# Для цитирования:

Алферьев А.Л., Горбатова А.В., Булавинцева Е.А., Карцев А.И., Климов А.А., Буряков А.М., Гусев Н.С., Сапожников М.В. Спинтронные ТГц эмиттеры на основе графена и антиферромагнетиков // Журнал радиоэлектроники. -2025. -№. 11. https://doi.org/10.30898/1684-1719.2025.11.29